

# دراسة تجريبية لأداء الالقط الشمسي لمحطة المدخلة الشمسية المائلة خلال فصل الصيف

## ملخص

تم بناء منصة اختبارية لمحطة المدخلة الشمسية المائلة ضمن حرم كلية الهندسة الميكانيكية والكهربائية بجامعة دمشق، وسجلت القياسات التجريبية المختلفة كل عشر دقائق على مدار الساعة يومياً خلال فصل الصيف لدراسة وتقييم أداء الالقط الشمسي وتغيرات درجة الحرارة المنسنة الاختبارية . على الرغم من أن ابعاد المنصة الاختبارية كانت صغيرة إلا أن فرق درجة حرارة الهواء بين مخرج الالقط والوسط المحيط وصل إلى قيم كانت كافية لتوليد تيار هواء مساعد في المدخلة ووصلت قيمته العظمى لـ  $[^{\circ}\text{C}] 16.6$ .

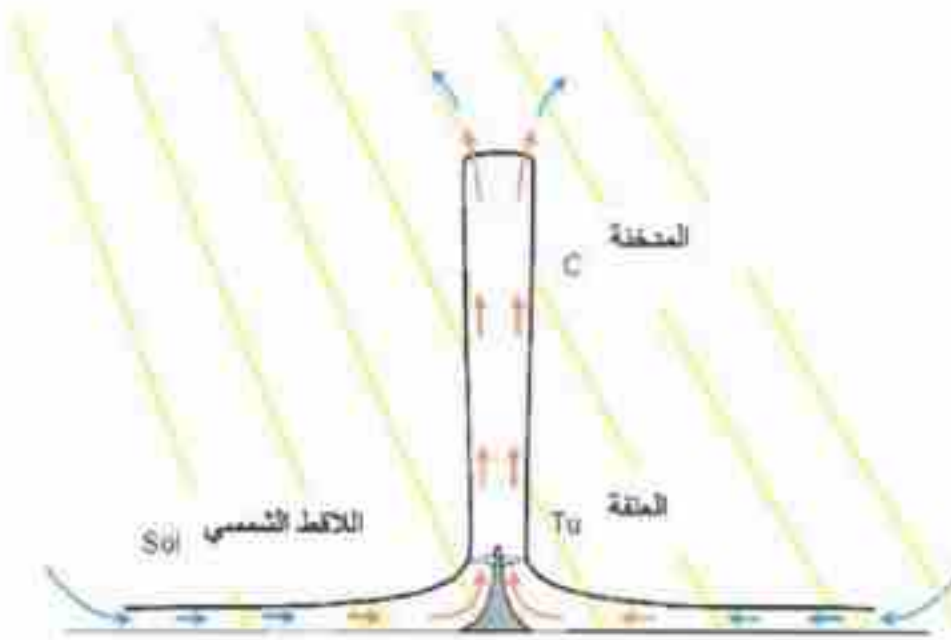
من أهم نتائج هذه التجربة ملاحظة أن كلاً من الإشعاع الشمسي ودرجة حرارة الوسط المحيط كان لهما التأثير الأكبر على تغيير قيمة الفرق في درجة الحرارة بين الوسط المحيط والهواء الخارج من الالقط، كما لوحظ أن السطح الداكن يرجع معظم الحرارة التي قام ب تخزينها منذ شروق الشمس وحتى الظهيرة عندما يبدأ الإشعاع الشمسي بالتناقص بشكل رئيس في الثلاث ساعات التي تلي بدأ هذا التناقص مما يؤدي إلى التحكم في درجة حرارة الهواء الخارج من الالقط.

**الكلمات المفتاحية:** الطاقة الشمسية، محطة المدخلة الشمسية، الالقط الشمسي، منصة اختبارية

## مقدمة:

تم بناء منصة إختبارية لمحطة المدخنة الشمسية ذات اللacket الشمسي المالئ ضمن حرم كلية الهندسة الميكانيكية والكهربائية بجامعة دمشق، وقد ضم اللacket الشمسي بشكل مثلي وتم تركيبه بزاوية ميل  $35^{\circ}$  عن الأفق باتجاه الجنوب بحيث بلغة مساحة اللacket حوالي  $12.5[m^2]$ . وقد تم تركيب مدخنة بطول  $9[m]$  وقطر  $0.31[m]$ . وقد ركب ثانية عشر حساس درجة حرارة على طول اللacket الشمسي لقياس تغير درجة الحرارة من مدخل على طول اللacket

تتكون محطة المدخنة الشمسية من ثلاثة أجزاء رئيسية هي اللacket الشمسي، المدخنة والعلقة. يركب اللacket الشمسي بشكل دائري وعلى ارتفاع معين من سطح الأرض ويركب المدخنة في وسطه كما ثبتت العلقة في داخل المدخنة من الأسفل حد منطقة القاء اللacket بالمدخنة. يعتبر بهذا عمل هذه المحطة بسيط جدا حيث يقوم الاتساع الشمسي المار عبر غطاء اللacket الشفاف بتخفيض الهواء ضمن اللacket بظاهرة البير زجاجي، وعندما يسخن الهواء وتزداد درجة حرارته يؤدي ذلك إلى انخفاض قيمة كثافته مما يدفع الهواء للتحرك صعوداً عبر المدخنة حسب ظاهرة الطفو. إن هذا التأثير يولد تيار هواء صاعد عبر المدخنة يقوم بدوره بتحريك العلقة المركبة فيها مولداً التيار الكهربائي. إن دخول هواء جديد من محيط اللacket وتسخينه تحت اللacket حسب معادلة الاستمرار يؤدي إلى إستمرار الجريان وبالتالي عملية توليد الكهرباء. يوضح الشكل (1) شكل ومبدأ عمل محطة المدخنة الشمسية (Schlaich and Schiel, 2000 3rd Edition).



الشكل (1): مبدأ عمل محطة المدخنة الشمسية التقليدية (Schlaich and Schiel, 2000 3rd Edition)

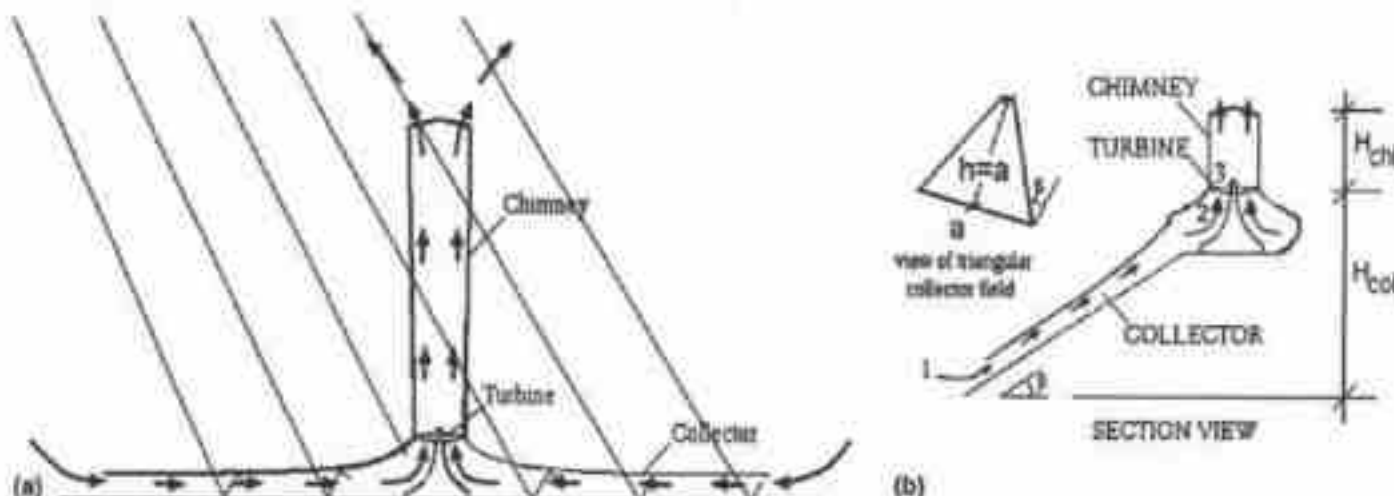
يعتبر العالم J. Schlaich هو أول من وضع الأساس العلمي والرياضي للمدخنة الشمسية منذ عام 1968 (Schlaich, 1995)، وقد قام هذا العالم بإثباتاته وبنوته هذه المحطة بينما أول منصة اختبارية لها في إسبانيا في بداية الثمانينيات من القرن الماضي والتي بقيت تعمل بشكل دائم قرابة عقد من الزمن وبإستطاعة خرج حوالي  $50[kW]$ . كان طول المدخنة في هذه المحطة  $194.6[m]$  وقطرها الداخلي حوالي  $10[m]$  وقطر اللacket الشمسي الوسطي  $120[m]$ . أثبتت هذه المحطة الاختبارية إمكانية إستمرار هذه الطريقة لتوليد الطاقة الكهربائية وتوقيتها أيضاً. بعد نجاح أول

نودج اختباري لمحطة المدخنة الشمسية، قام العديد من الباحثين ببناء منصات تجريبية ولكن بأبعاد صغيرة لدراسة تأثير الأبعاد الهندسية أو لتطوير النماذج الرياضية والحاوسبة المناسبة للمحطة. فقد درس الباحث Zhou et al. درجة حرارة الهواء تحت اللacket التجربيا على منصة اختبارية بنيت خصيصاً لهذا الهدف (Zhou et al., 2007a). وقام نفس الباحث أيضاً بدراسة أداء المحطة والطاقة الناتجة بمقارنة نودج رياضي مع النتائج التجريبية مع تغير الأبعاد الهندسية للمحطة والظروف المناخية من إشعاع شمسي ودرجة حرارة للوسط المحيط (Zhou et al., 2007b). وقام الباحث Maia et al. ببناء منصة اختبارية لمحطة المدخنة الشمسية وأجرى العديد من الدراسات الحاسوبية والتحليلية لأداء المحطة ومقارنة النتائج الحاسوبية بالنتائج التجريبية (Maia et al., 2009)، وبين الباحث Mehla et al. منصة اختبارية مصغرة حيث كان قطر اللacket الشمسي (m) 1.4 وطول المدخنة (m) 0.8 وكان الهدف الرئيسي من المحطة قياس تغير درجة الحرارة ضمن المدخنة مع تغير الأبعاد الأساسية للمنصة الإختبارية (Mehla et al., 2011)، وقام الباحث Kasaeian et al. بدراسة تجريبية لسرعة الهواء وتغير درجة الحرارة لمحطة المدخنة الشمسية التي بنيت في جامعة زالجان في إيران (Kasaeian et al., 2011).

عادة يتم بناء مدخنة محطة المدخنة الشمسية من الأسمدة المسلح، وبالرغم من أن هذا النوع من المداخن يتصرف بعمر خدمي طويل ولكن أحد أكبر سلبياتها أنها مرتبطة التكاليف وخاصة عند بناء مداخن شاهقة الارتفاع إذ أن خواص المواد المستخدمة لبناء والتقويات الحديثة وخطر الظواهر الطبيعية كالزلزال تحد من إمكانية زيادة ارتفاع المدخنة لعدة كيلومترات، فمن المعلوم أنه كلما زاد طول المدخنة كلما إزداد مردود محطة المدخنة الشمسية (Zhou et al., 2010). إن هذه الحقائق دفعت بالعديد من الباحثين لإيجاد طرق بديلة للإعتماد على زيادة طول المدخنة، فقدم العالم Papageorgiou براءة اختراع لتصميم مدخنة على شكل حلقات شاهقة وزنه أقل من وزن الهواء (كالميلوم مثلًا) وأسماها المدخنة العائمة (Floating Chimney) تكون بديلاً عن مدخنة الأسمدة المسلح التقليدية (Papageorgiou, 2007). استفاد الباحثان Zhou & Yang من فكرة المدخنة العائمة وقاما بحثاً يدرس إمكانية استخدام هذا النوع من المداخن بحيث تستند إلى جبل شاهق الارتفاع لتخفيض تكلفة البناء (Zhou and Yang, 2009)، ووضع الباحث Zhou فكرة ذكية تتضمن فتح ثقب علوي في وسط جبل شاهق الارتفاع ويتم وصلها من الأسفل مع لacket شمسي ليجعل هذا الثقب عمل المدخنة (Zhou et al., 2009).

ومن ناحية أخرى، أقترح الباحثان Bilgen & Rheault تصميم جديد لمحطة المدخنة الشمسية يشتمل على الاستناد من المفوح الجبلي المتوجه نحو الجنوب (في النصف الشمالي للكرة الأرضية) وذلك لبناء اللacket الشمسي على المسلح الجبلي لجعل عمل لacket ودخنة في نفس الوقت وقد اطلق اسم محطة المدخنة الشمسية العائلة وأحياناً باسم محطة المدخنة الشمسية ذات اللacket الشمسي العائل على هذا النوع من المحطات ويظهر الشكل (2) مقارنة بين محطة المدخنة الشمسية التقليدية ومحطة المدخنة الشمسية العائلة. إن ميزت هذا التصميم لا تقتصر على عمل اللacket كمدخنة وبالتالي توفير في التكلفة التأسيسية وإنما أيضاً زيادة مردود اللacket مقارنة باللacket الأدق المستخدم في التصميم التقليدي السابق (Bilgen and Rheault, 2005). تبع هذا الاقتراح عدة اقتراحات لتطوير هذا التصميم يدها الباحث Cao et al. بدراسة إمكانية استخدام محطة المدخنة الشمسية العائلة في شمال غرب الصين لتزويد القرى الذاتية بالتيار الكهربائي ودرس مردود اللacket العائل والمدخنة ككل (Cao et al., 2011)، وطور Panse et al. نودج رياضي

دراسة محطة المدخنة الشمسية المائلة (Pansse et al., 2011, Cao et al., 2012) وقام بتطوير نموذج رياضي لانتقال الحرارة في محطة المدخنة الشمسية المائلة وقارن أداء محطة المدخنة الشمسية التقليدية من المائلة (Cao et al., 2012).



الشكل (2): مقارنة بالشكل بين محطة المدخنة الشمسية التقليدية (a) ومحطة المدخنة الشمسية المائلة (b) (Bilgen and Rheault, 2005)

#### **أهمية البحث وأهدافه:**

إن الواقع المعايير للجمهورية العربية السورية واحتواها على العديد من المصادر الجبلية والتلال ذات السفوح المتوجهة إلى الجنوب يجعل منها مكاناً مناسباً لبناء محطة المدخنة الشمسية المائلة. إن هذا العامل شجع على بناء منصة اختبارية لمحطة المدخنة الشمسية المائلة في حرم كلية الهندسة الميكانيكية والكهربائية بجامعة دمشق لإجراء الاختبارات التجريبية عليها ودراسة أدائها لتقدير امكانية استثمار هذا النوع من المحطات لتوليد الطاقة الكهربائية في المستقبل. تم التركيز في هذا البحث على دراسة أداء الالكتروشمسي المائل خلال الظروف المناخية الحارة (فصل الصيف) وذلك للحكم على وثوقية هذا النوع من المحطات.

#### **طرازات البحث ومواده:**

##### **بناء المنصة الإختبارية :**

بنيت المنصة الإختبارية لمحطة المدخنة الشمسية ضمن حرم كلية الهندسة الميكانيكية والكهربائية بجامعة دمشق، وقد تم اختيار الموقع بعناية بحيث يكون الالكتروشمي معرضاً للأشعة الشمسية طول النهار. تم أولاً بناء جدارين مائلين متلقيين الشكل لكي يتم حجز التربة بينهما لتشكل منحدراً مائلاً مشابهاً لإتجاه السفوح الجبلية وموجاً باتجاه الجنوب ولديهم المقطع الماس لالكتروشمي كما يظهر الشكل (3) وقد تم ملأ الفراغ بين الجدارين بترابة خاصة تم احضارها من الجبال القريبة من دمشق لجعل المنصة الإختبارية قرب ما تكون من الواقع المتمثل ببناء هذه المنصة الإختبارية على سفح جبل، كما ان التربة التي وضعت لم يضاف اليها اي مادة تعزيز خواصها الحرارية كالتخزين الحراري او الامتصاصية للأشعة الشمسية.

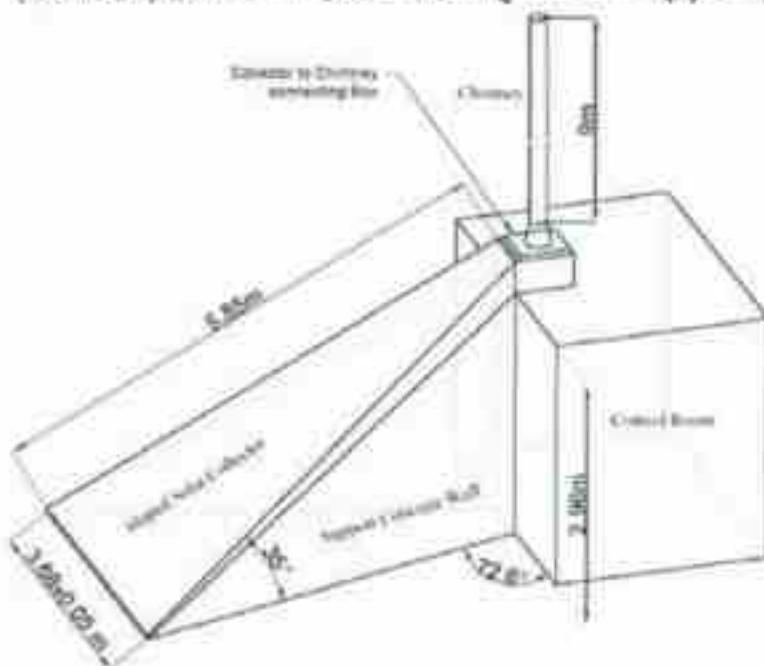


الشكل (3): الجدران التي تم بناها لتشكيل اللacket النسبي العائلي فيها

عادة تكون التربة الجبلية في سوريا من حجارة صغيرة ناتجة عن فتات الصخور وكذلك تربةلونها مائل للحمراء ويظهر الشكل (4) اللacket بعد تجهيزه بالتربة. كما تم بناء غرفة صغيرة من الجهة الشمالية للacket لتكون بمثابة غرفة القيادة والتحكم حيث مستخدم لوضع كل التجهيزات الالكترونية الخاصة بالقياسات وكذلك ليستخدم سطحها كقاعدة للمدخنة التي سيتم تركيبها بنهائية الacket من الأعلى. تم تصنيع الacket من شبك معدني يميل بزاوية  $35^{\circ}$  وتم تركيب زجاج عليه بسمك [4]mm. كما تم تصنيع صندوق معدني و تركيبه على سطح غرفة التحكم وله مدخلان الأول يتم وصله مع مخرج الacket ليستقبل الهواء وينقله بأقل فقد بالطاقة الحرارية الى الفتحة الثانية للصندوق والتي تتصل بالمدخنة مباشرة، وقد عزل هذا الصندوق من الخارج لأنقاص الضياع الحراري منه للوسط المحيط. أما بالنسبة للمدخنة فشُكلت بتجمیع ثلاثة أنابيب بلاستيكية (PVC) طول كل منها [3]m وقطرها الداخلي [0.31]m لتشكل معاً مدخنة يطول [9]m. يوضح الشكلان (5) و(6) الشكل ثلاثي الابعاد للمنصة الإختبارية ومصورة واقعية للمنصة الإختبارية بعد إنتهاء التنفيذ على الترتيب.



الشكل (4): اللافت التمسي العائلي بعد تجهيز سطحه الماس (التربة الجبلية)

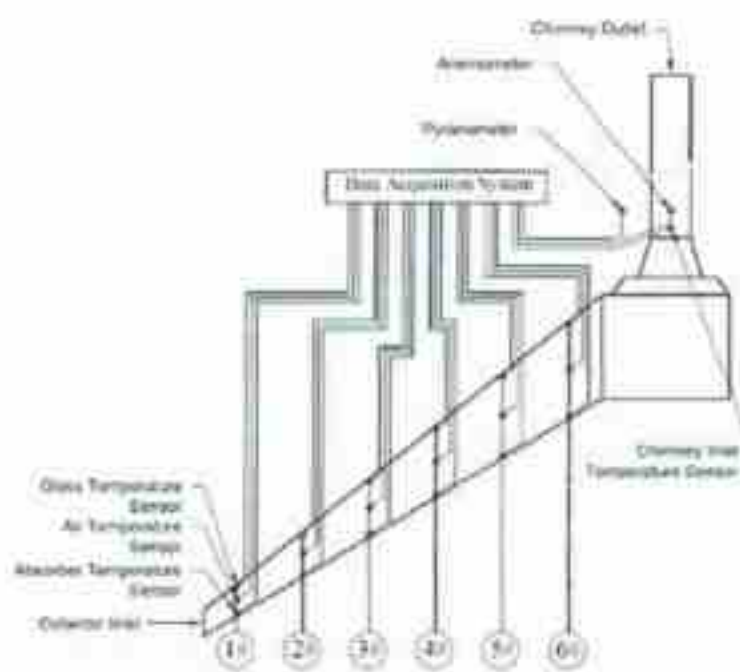


الشكل (5): الأبعاد الهندسية للنمسة الإختبارية



الشكل (6): الشكل النهائي للمنصة الإختبارية لسحله المدفأة التسمية المائية

أما بالنسبة للقياسات فقد تم تركيب ثمانية عشر حساس لقياس درجة الحرارة على طول اللacket الشمسي العايل مقسمة إلى ست مجموعات كل مجموعة مكونة من ثلاثة حسّاسات لقياس درجة حرارة التربة (السطح الماء) ودرجة حرارة الهواء المراد تخفيته ودرجة حرارة السطح الزجاجي، وقد استُخدمت هذه الحسّاسات لقياس تغير درجات الحرارة على طول الacket. كما تم إضافة حساس حرارة في مخرج الacket لقياس حرارة الهواء الخارج من الacket الشمسي وكذلك حساس حرارة آخر لقياس درجة حرارة الوسط المحيط. أما الإشعاع الشمسي فقد تم قياسه أيضاً باستخدام جهاز خاص لقياس الإشعاع الشمسي (SP-Lite2 Pyranometer)، وبالنسبة لسرعة الهواء داخل المدفأة فقد تم قياسها باستخدام جهاز سرعة هواء يعتمد على مبدأ السلك الساخن ذو الدقة العالية (TES-1341 Anemometer). جُمعت البيانات التجريبية يومياً على مدار الساعة وبفواصل زمنيَّة قدره 10 دقائق حيث تم تخزين كل النتائج في جهاز خاص لتخزين القراءات. يوضح الشكل (7) توزيع الحسّاسات ضمن المنصة الإختبارية .



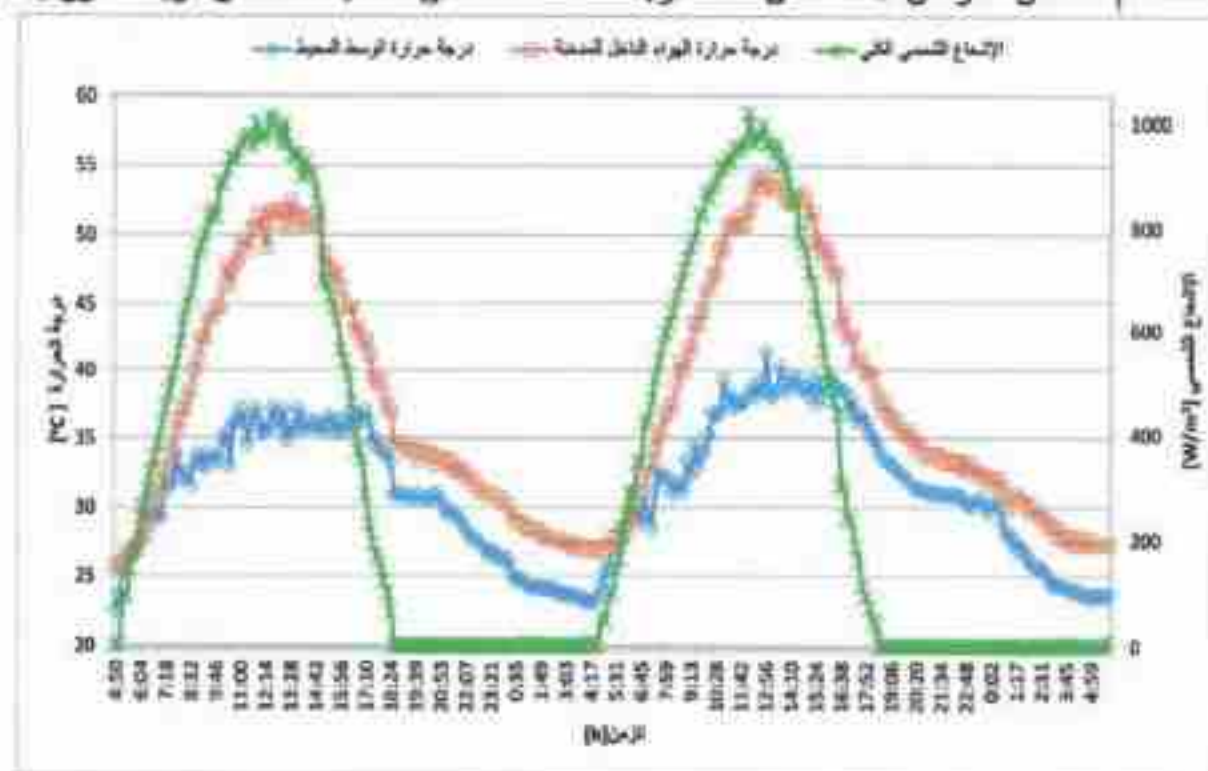
الشكل (7): توزيع الحسّاسات ضمن المنصة الإختبارية

## النتائج ومناقشتها:

كما ذكر سابقًا فإن القراءات تم تسجيلها على مدار فصل الصيف ويعاقب قراءة كل عشر دقائق لكافة المساحات في نفس التوقيت، ولمناقشة تغيرات درجة الحرارة ضمن المعاشرة الإختبارية بشكل واضح فقد تم اختيار يومين لاعلى التغيير (من صباح 04-08-2012 الى شروق الشمس في 06-08-2012) وذلك لتوضيح تغير القراءات على المخططات وتقييمها.

### دراسة تغيرات درجة حرارة الهواء عند مدخل المدخنة:

يوضح الشكل (8) تغير كل من درجة حرارة الوسط المحيط وكذلك الإشعاع الشمسي معاً مع تغير درجة حرارة الهواء الداخلي إلى المدخنة (بعد اتمام عملية التسخين تحت اللاقط). وبعد شروق الشمس يوم 04-08-2012 بدأت كل من درجة حرارة الوسط المحيط وقيمة الإشعاع الشمسي بالارتفاع وبدأ الهواء يسخن تحت اللاقط نتيجة لظاهرة البيت الزجاجي تحت اللاقط حيث يخترق الإشعاع الشمسي سطح اللاقط الشفاف (الزجاج) ويُسخن المسطح الماخص لللاقط وهذا بدوره يعيد الحرارة إلى الهواء بالحمل بشكل رئيسي. ومع الوقت زادت كل من درجة حرارة الوسط المحيط والإشعاع الشمسي وبدأ الهواء الماخص ضمن اللاقط يصعد (حسب ظاهرة الطفو) إلى المدخنة مارضاً لشكل تياري هواء مساعد ضمن المدخنة. إن الفرق بين درجة حرارة الهواء الداخل للمدخنة ودرجة حرارة الوسط المحيط أخذ بالارتفاع نتيجة لتأثير الإشعاع الشمسي المستمر وزيادة قيمته حتى فترة النهضة حيث بلغ هذا الفرق أعظم قيمة وقدرها [°C] 16.6 في الساعة 13:28 PM وكانت قيمة الإشعاع الشمسي [ $W/m^2$ ] 940. في الساعة 12:28 PM بلغ الإشعاع الشمسي أعلى قيمة [ $W/m^2$ ] 1010 وبعدها بدء بالتناقص تدريجياً ولكن ورغم هذا التناقص لوحظ أن قيمة درجة حرارة الهواء الداخل للمدخنة لم تتناقص أكثر من 2% ضمن مدة تقارب الثلاث ساعات وبعدها بدأ تتناقص درجة الحرارة بالتدريج.



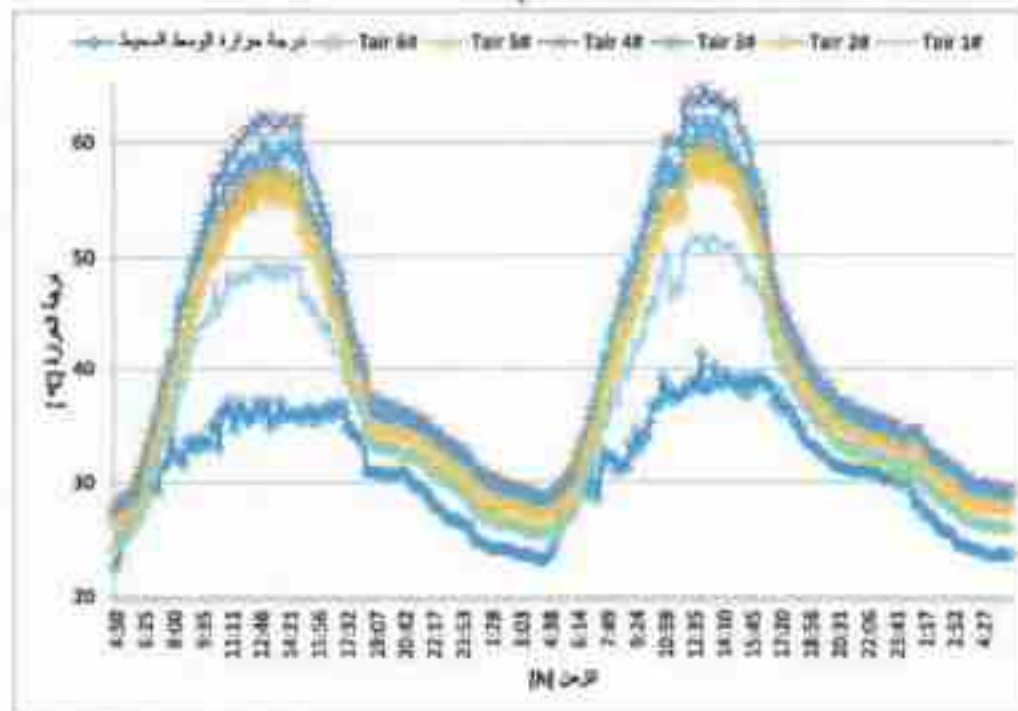
الشكل (8): توزيع المساحات ضمن المعاشرة الإختبارية

إن هذا الثبات في درجة الحرارة يعود بشكل رئيس إلى الحرارة المخزنة منذ الصباح في السطح الماء (الترية) والتي بدأت بالانحراف والعودة إلى الهواء عندما بدأ الإشعاع الشمسي بالتناقص، وبعد حوالي ساعتين كان السطح الماء قد استنفذ كل الطاقة المخزنة تقريباً وعندها بدلت درجة حرارة الهواء الداخل للمدخنة بالتناقص. ومع غروب الشمس وانعدام الإشعاع الشمسي بدأ الفرق بين درجة حرارة الوسط المحيط ودرجة حرارة الهواء الداخل للمدخنة بالتناقص تدريجياً حتى انعدم تقريباً قبيل شروق الشمس لليوم التالي حيث تكرر نفس الأحداث. إن ما يبقى من حرارة قليلة مخزنة ضمن ترية السطح الماء لل nocturnal ساعد على استمرار الفرق بين درجتي الحرارة أتفت الذكر حتى تم استفادتها بشكل كامل في آخر الليل فتعادلة درجة حرارة الهواء تحت اللacket مع درجة حرارة الوسط المحيط.

#### دراسة تغيرات درجة حرارة الهواء على طول اللacket:

كما ذكر سابقاً فإن اللacket الشمسي قد رُوَد بست حساسات لقياس درجة الحرارة على طوله اعتباراً من المدخل وحتى مخرج. يوضح الشكل (9) تغير درجة حرارة الهواء ضمن اللacket في المكان وجود الحساسات المتراكبة. بعد شروق الشمس وزيادة قيمة الإشعاع الشمسي ترتفع حرارة الهواء تحت اللacket بشكل تدريجي وفي البداية لا يكون هناك تباين وفرق كبير بدرجة الحرارة على طول اللacket ولكن مع زيادة شدة الإشعاع الشمسي وارتفاع درجة حرارة السطح الماء لل nocturnal يبدأ التدرج الحراري بالظهور جلياً إذ كلما صعد الهواء تحت اللacket تجد أن درجة حرارته اختلفت بالإضافة، ولكن لوحظ أن قراءة درجة الحرارة في وسط اللacket أعلى منها عند مخرج وخاصية في فترة النهار ويمكن ذلك في شكل الآفم وتوزع الحرارة على عرضه وطوله إذ أن الحساسات موسوعة وكلما ارتفعنا من مستوى اللacket وقل البعد بين اطرافه مما ي يؤدي إلى منح الهواء القائم من منتصف اللacket (المتعلقة الأكثر مسخونة) مع الهواء القادم من اطراف اللacket والتي تكون أقل سخونة نتيجة للتبعاع الحراري من اطراف اللacket الغير معزولة. إن النتائج التجريبية للتدرج في درجة الحرارة على طول اللacket للهواء يتوافق مع نتائج العديد من الباحثين

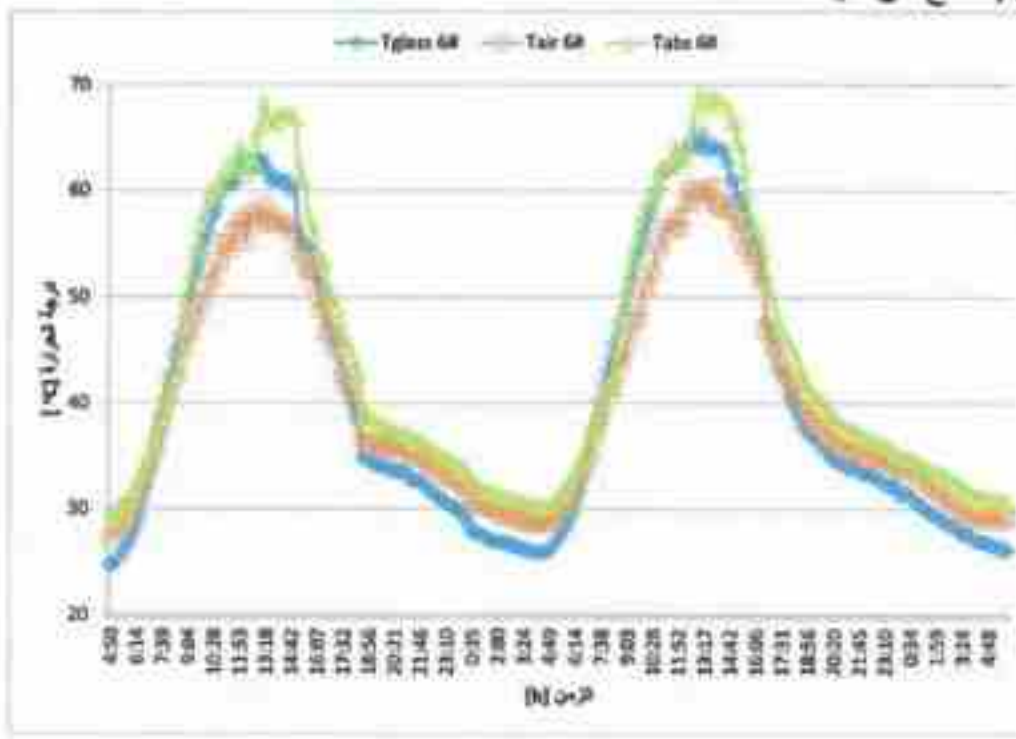
(Kasaeian et al., 2011; Zhou et al., 2007a, b)



الشكل (9): تغير درجة حرارة الهواء على طول اللacket

دراسة تغيرات درجة حرارة الهواء والمسطح المائي والسطح الزجاجي لللائحة عند المخرج:

يظهر الشكل (10) تغيرات درجة الحرارة في كل من السطح الماسن والمطع زجاجي والهواء لللائحة الشمس المائل على مدار يومين لذا يظهر جلياً أن القراءات الأعلى تم تسجيلها بين الساعة 11:53 AM و حتى الساعة 14:07 PM . بعد ظهيرة ولما أن الإشعاع الشمسي يأخذ بالتناقص فإن التردد تنشر الطاقة الحرارية التي حزنتها طوال النهار إلى كل من الهواء والمطع زجاجي بالحمل والإشعاع على الترتيب، وهذا يؤدي إلى تناقص تدريجي في قيم درجات الحرارة حتى غروب الشمس . تستمر العملية في الليل حتى تخمر التردد كل الطاقة الحرارية التي حزنتها ويظهر خلالها الفرق الصغير في درجات الحرارة بحيث تكون درجة حرارة المطع الماسن أعلى وثم الهواء الملائم للسطح الماسن أما بالنسبة للزجاج الذي يلامس مباشرة الهواء الخارجي فتكون حرارته أقل من درجة حرارة الهواء نتيجة للضياع الحراري بالحمل والإشعاع إلى الوسط المحيط.



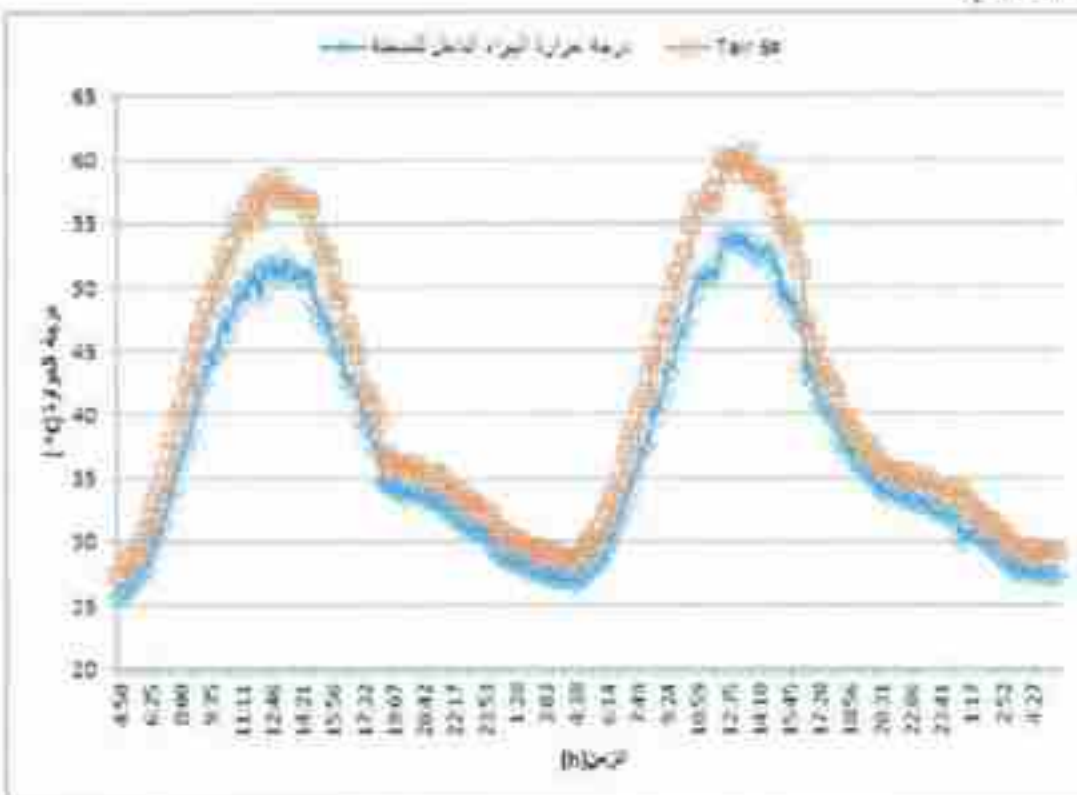
الشكل (10): تغيرات درجة حرارة الهواء والسطح المائي والسطح الرياحي للكخط عند مخرجه

من ناحية أخرى يظهر ان درجة حرارة الزجاج هي اعلى من درجة حرارة الهواء تحت الاكشاد وخاصة في فترة الظهيرة. إن انتصاف الزجاج لجزء من الإشعاع الشمسي وكذلك تقويه أيضا لجزء من الإشعاع القادم من السطح الماسن يجعل درجة حرارة الزجاج تناهذ في هذه الفترة درجة حرارة الهواء ولكن ماتثبت ان تعود وتصبح اقل كما كانت عليه منذ الصباح وذلك بعد انخفاض قيم الإشعاع الشمسي والطاقة المتبعثة من السطح الماسن.

**دراسة الخمارة في حرارة الهواء ضمن الصندوق الواسع بين مخرج اللاقط الشمسي المائل ومدخل المدخنة:**

يوضح الشكل (11) الفرق بين درجة حرارة الهواء الخارج من اللافت ودرجة حرارة الهواء الداخل إلى المدخلة. فالهاء بعد خروجه من اللافت يمر عبر صندوق معدني ليحول جريان الهواء بشكل انساني من جريان لفقي إلى جريان شائعلي يدخل إلى المدخلة ليسعد فيها نحو الأعلى. رغم عزل الصندوق بطبقة من مادة الصوف الزجاجي المستخدمة

في عزل مجاري التكييف إلا أن قيمة الضياع الحراري كانت ملحوظة وخاصة في وقت الظهيرة عندما يكون الفرق بين درجة حرارة الهواء داخل اللacket ودرجة حرارة الوسط المحيط مرتفعة، وهذا يتوافق مع معادلة ثبوت للانتقال الحراري حيث يزداد الضياع الحراري مع زيادة الفرق في درجة الحرارة بين الجسمين (الهواء المسخن من محطة التجربة والهواء بالوسط المحيط).



الشكل (11): الفرق بين درجتي الحرارة عند مخرج اللacket ومدخل المدخنة

#### الاستنتاجات والتوصيات:

تم بناء مقصورة اختبارية لمحطة المدخنة الشمسية ذات اللacket المائل من من حرم كلية الهندسة الميكانيكية والكهربائية بجامعة دمشق لدراسة أداء المحطة. تم في هذه المقالة استعراض أداء اللacket الشمسي لتسخين الهواء في الأحوال المناخية الحارة (فصل الصيف) وتم التوصل إلى النتائج التالية:

- 1- رغم صغر أبعاد المقصورة الاختبارية إلا ان الفرق بين درجة حرارة الوسط المحيط ودرجة حرارة الهواء الداخل للمدخنة وصل الى قيم تسمح بتشكيل جريان صاعد ضمن المدخنة وكانت القيمة المطلوبة لفرق درجات الحرارة هي  $[16.6^{\circ}\text{C}]$ .
- 2- إن الإشعاع الشمسي زادت درجة حرارة الهواء الخارج من اللacket، فكلما زادت قيمة الإشعاع الشمسي زادت درجة حرارة الهواء الخارج من اللacket.
- 3- لدرجة حرارة الوسط المحيط أثر كبير على درجة حرارة الهواء الخارج من اللacket الشمسي، ولكن لوحظ أن هذا الدور يصبح ثانوياً لمدة تقارب ثلث ساعات في فترة بدأ انخفاض الإشعاع الشمسي حيث ان اثر التخزين الحراري في المسطح الماصل لللacket (التربة) يلعب دور المنظم والمثبت لحرارة الهواء ضمن اللacket حتى تخسر التربة معظم الطاقة المخزنة.

- 4- ان السطح العاكس للمنصة الاختبارية (الذى تم تشكيله من تربة جبلية ولم يضاف اليها اي مادة لتحسين خواصها) استطاع ان يخزن حرارة كانت كافية لتثبيت درجة حرارة الهواء الخارج من اللاكتف لمدة حوالي ثلث ساعات وقت النروء وكذلك المحافظة على فرق صغير خلال الليل حتى تلاشى تماما مع اخر ساعات الليل قبيل الشروق. ان هذا يثبت فعالية التخزين الحراري في التربة الجبلية للجبال السورية والتي مستمدة على التحكم في الطاقة الكهربائية المولدة من المحطة.
- 5- لوحظ فرق بين درجة حرارة الهواء الخارج من اللاكتف ودرجة حرارة الهواء الداخل للمدخنة نتيجة للضياع الحراري من الصندوق المعدني الواسع بين اللاكتف والمدخنة. ان هذا الفرق يمكن انقاشه وزيادة فعالية المنصة الاختبارية بزيادة العزل وإحكامه حول الصندوق المعدني.
- 6- ان قيمة درجة حرارة الزجاج (سطح اللاكتف) كانت أعلى من قيمة درجة حرارة الهواء خلال فترة الظهيرة وذلك ادى الى مزيد من الضياع الحراري من اللاكتف. ان هذا الضياع الحراري يمكن الحد منه باستخدام انواع زجاج ذات مواصفات حرارية أفضل بحيث تسمح للبلاستيك التسفس بالانتقال بجهة واحدة من الخارج الى الداخل.

## المراجع

- Bilgen, E., Rheault, J., 2005. *Solar chimney power plants for high latitudes*. SoEn 79, 449-458.
- Cao, F., Zhao, L., Guo, L., 2011. *Simulation of a sloped solar chimney power plant in Lanzhou*. Energy Conversion and Management 52, 2360-2366.
- Cao, F., Zhao, L., Li, H., Guo, L., 2012. *Performance analysis of conventional and sloped solar chimney power plants in China*. Applied Thermal Engineering.
- Kasaeian, A.B., Heidari, E., Vatan, S.N., 2011. *Experimental investigation of climatic effects on the efficiency of a solar chimney pilot power plant*. Renewable and Sustainable Energy Reviews 15, 5202-5206.
- Maia, C.B., Ferreira, A.G., Valle, R.M., Cortez, M.F.B., 2009. *Theoretical evaluation of the influence of geometric parameters and materials on the behavior of the airflow in a solar chimney*. Computers & Fluids 38, 625-636.
- Mehla, N., Rahul Makade, N.S.Thakur, 2011. *Experimental Analysis of a Velocity Field Using Variable Chimney Diameter for Solar Updraft Tower*. International Journal of Engineering Science and Technology (IJECT) 3, 3167-3171.
- Panse, S.V., Jadhav, A.S., Gudekar, A.S., Joshi, J.B., 2011. *Inclined solar chimney for power production*. Energy Conversion and Management 52, 3096-3102.
- Papageorgiou, C.D., 2007. *Floating Solar Chimney Technology—the Energy Arm for Sustainability*.
- Schlaich, J., 1995. *The Solar Chimney: Electricity from the Sun*. Axel Menges.
- Schlaich, J., Schiel, W., 2000 3rd Edition. *Encyclopedia of Physical Science and Technology*.
- Zhou, X., Wang, F., Ochieng, R.M., 2010. *A review of solar chimney power technology*. Renewable and Sustainable Energy Reviews 14, 2315-2338.
- Zhou, X., Yang, J., 2009. *A Novel Solar Thermal Power Plant with Floating Chimney Stiffened onto a Mountainside and Potential of the Power Generation in China's Deserts*. HTrEn 30, 400-407.
- Zhou, X., Yang, J., Wang, J., Xiao, B., 2009. *Novel concept for producing energy integrating a solar collector with a man made mountain hollow*. Energy Conversion and Management 50, 847-854.
- Zhou, X., Yang, J., Xiao, B., Hou, G., 2007a. *Experimental study of temperature field in a solar chimney power setup*. Applied Thermal Engineering 27, 2044-2050.
- Zhou, X., Yang, J., Xiao, B., Hou, G., 2007b. *Simulation of a pilot solar chimney thermal power generating equipment*. Renewable Energy 32, 1-1644-637

# **Experimental investigations for the performance of the solar collector of the sloped solar updraft power plant during summer**

## **ABSTRACT**

A pilot sloped solar updraft power plant has been erected in the campus of Mechanical and Electrical faculty of Damascus University. Experimental data were recorded every 10[min] 24[h] a day during summer to investigate the prototype performance and the temperature changes in the sloped collector. Although the prototype dimensions were small, the air temperature difference between the ambient temperature and the air temperature in the collector outlet was enough to generate an adequate updraft airstream in the chimney. The maximum recorded difference in temperature was 16.6 [°C].

As a result of this experiment, it is obvious that any change in the solar radiation and the ambient temperature has a direct impact on varying the air temperature between the collector outlet and the ambient. It was also noticed that the absorption layer emits most of stored thermal energy, which is absorbed from the morning to noon, back to the collector air mainly in the first three hours when solar radiation starts to decrease in the afternoon. This leads to controlling the collector outlet air temperature.

**Keywords:** solar energy, solar chimney power plant, solar collector, prototype.